

九州大学 工学部 正員 山崎徳也

” 大学院 学生員 石川信隆

” ” ” ○松隈秀信

1. 緒言 RC (鉄筋コンクリート)構造物が低応力を受けている時は弾性体と考えて差し支えないが、一且高応力を受けて局部的にき裂を生ずるとすれば弾塑性体と見做され、その厳密解析は極めて複雑なものとなる。本研究は RC 部材の近似的な曲げモーメントと曲率との関係を基礎とし、局部的にき裂が生じた弾塑性部材に対する変断面たわみ角式を導き、これを用いて実際の RC 構造物として多用されるハニカムを有する連続ばかりまたははりと柱との接合部にハニカムをもつラーメンなどの弾塑性解析を弾性解析におけるたわみ角法に準ずる手法で行なうるべくし、その実用化に資せんとするものである。

2. 曲げモーメントと曲率との関係

鉄筋およびコンクリートの応力-歪曲線を図-1のごとく仮定すれば、 RC 部材の曲げモーメント M と曲率 ϕ との関係は近似的に図-2のごとく示される。³⁾ よって曲率 ϕ は弹性および弾塑性状態に応じてそれぞれ次式のごとく表わされる。

$$0 \leq M \leq M_c : \quad \phi = M/EI \quad \cdots \cdots (1)$$

$$M_c \leq M \leq M_y : \quad \phi = (M - M_c)/EI_c + M_c/EI = K(M - M_c)/EI + M_c/EI \quad \cdots \cdots (2)$$

$M = M_y$: $\phi \geq \phi_y$ ただし M_c : き裂発生時の曲げモーメント、
 M_y : 鉄筋降伏時の曲げモーメントおよび曲率、 EI , EI_c : 弹性および弾塑性の曲げ剛性、 $K = EI_c/EI$ 。

ここで図-3のごとき複鉄筋矩形断面を考えれば文献のより次値がえられる。

$$\left. \begin{aligned} EI &= 17.5 \times 10^3 I_0 + (0.15 + 0.2P) p f_y b h^3 \\ EI_c &= (0.15 + 0.3P) EI \\ M_c &= (4.2 + 3.7P) b h^2 \end{aligned} \right\} \quad \begin{aligned} \text{ただし } P &= A_s/gd : \text{引張鉄筋比}(\%) , f_y = A_s'/A_s : \text{横筋比}, g: \text{幅} \\ &h: \text{高さ}, b: \text{有効高さ}, A_s, A_s': \text{引張および正斜め引張筋面積}, \gamma: \text{等} \\ &\text{降伏点曲げ剛性}, \beta = 2.35 - 0.05(P=0.2\sim 2.0\%): \text{応力中心距離比} \\ M_y &= \beta \cdot P \cdot 0.3y \cdot b h^2 \end{aligned}$$

よって式(3)よりき裂発生時の曲率 $\phi_c = M_c/EI$ および鉄筋降伏時の曲率 $\phi_y = M_y/EI$ をえられ、これを用いて $EI_c = (M_y - M_c)/(\phi_y - \phi_c)$ を求めれば式(3)中に含まれる $K = EI_c/EI$ が算出されることとなる。

3. ハニカムを有する部材の弾塑性たわみ角式の誘導

図-4に示すごとく両端 A , C および D , B にハニカムを有し、かつ塑性領域が EF , GH , IJ の範囲に生ずる弾塑性部材 A , B を考えれば、ハニカム部 A , C および D , B における曲げモーメント-曲率関係式は式(1)および式(2)の I を等断面部の I_0 (\rightarrow 置換する) とし、また M を \bar{M} , M_c を \bar{M}_c に変換した式内容と一致する。

$$\text{ここで } \bar{M} = M/b \quad \cdots \cdots (4) \quad \bar{M}_c = M_c/b \quad \cdots \cdots (5)$$

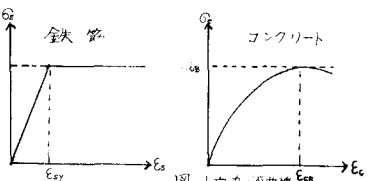


図-1 応力-歪曲線

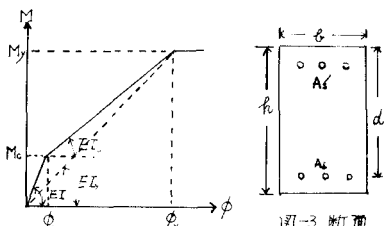
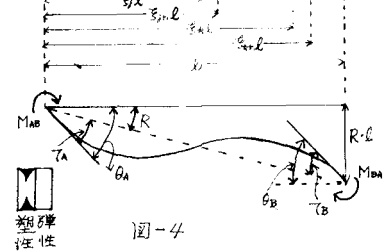
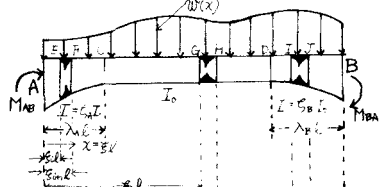
図-2 M - ϕ 関係

図-4

ただし $\beta = I/I_0$, $\lambda = \sqrt{I/I_0}$, M_{co} : 等断面部のき裂発生時の曲げモーメント
より、てばりの曲げモーメントは式(4)および図-4を参照して次式でとく表わされる。

$$\begin{aligned} 0 \leq \beta \leq \lambda_A : \quad M &= \{(1-\beta)M_{AB} - \beta M_{BA} + M_{co}(\beta)\}/\beta \\ \lambda \leq \beta \leq 1 : \quad M &= (1-\beta)M_{AB} - \beta M_{BA} + M_{co}(\beta) \\ 1-\lambda_B \leq \beta \leq 1 : \quad M &= \{(1-\beta)M_{AB} - \beta M_{BA} + M_{co}(\beta)\}/\beta_B \end{aligned} \quad \left. \right\} (4)$$

ただし $\beta = x/l$, λ_A, λ_B : A, B 両端よりのハンケイ長さ, また $M_{co}(\beta)$ は A, B 材を単純ばねと見做して
ときの荷重によるてばりの曲げモーメントを示す。

一方φ-法公式を用うれば両端 A, B における切線角 θ_A もとひいては次式でとく表わされる。

$$\theta_A = \int_0^l \phi \cdot (1-\beta) \cdot l d\beta, \quad \theta_B = \int_0^l \phi \cdot (-\beta) \cdot l d\beta \quad \cdots \cdots (7)$$

上式の φ に等断面部およびハンケイ部において弾性領域下ではそれそれ式(4)かひ式(4)を、弾塑性領域では
それそれ式(3)かひ式(5)を代入のうえ式(6)を併用して演算整理すれば上式より次式がえられる。

$$\begin{aligned} (EI_0/l) \theta_A &= \partial_A M_{AB} - \beta_A M_{BA} - Y_{AB} M_{co} - f_{AB} M_{co} + \theta_{A0} \\ (EI_0/l) \theta_B &= -\beta_B M_{AB} + \partial_B M_{BA} + Y_{BA} M_{co} + f_{BA} M_{co} - \theta_{B0} \end{aligned} \quad \left. \right\} (8)$$

ただし式(8)の係数 $\partial_A, \partial_B, \beta_A, \beta_B$, 弹塑性項の一種 f_{AB}, \dots, f_{BA} および荷重項の一種 Y_{AB}, Y_{BA} はそれそれ
表-1 のじき内容とく。表-1

$\partial_A = \int_0^{\lambda_A} \frac{(1-\beta)^2}{S_A} d\beta + \int_{\lambda_A}^{1-\lambda_B} (1-\beta)^2 d\beta + \int_{1-\lambda_B}^1 \frac{(1-\beta)^2}{S_A} d\beta + (K-1) \int_{S_A}^{S_{co}} \frac{(1-\beta)^2}{S_A} d\beta + (K-1) \int_{S_A}^{S_{co}} \frac{(1-\beta)^2}{S_B} d\beta$
$\partial_B = \int_0^{\lambda_A} \frac{\beta^2}{S_A} d\beta + \int_{\lambda_A}^{1-\lambda_B} \beta^2 d\beta + \int_{1-\lambda_B}^1 \frac{\beta^2}{S_B} d\beta + (K-1) \int_{S_A}^{S_{co}} \frac{\beta^2}{S_A} d\beta + (K-1) \int_{S_A}^{S_{co}} \frac{\beta^2}{S_B} d\beta$
$\beta_A = \beta_B = \beta = \int_0^{\lambda_A} \frac{\beta(1-\beta)}{S_A} d\beta + \int_{\lambda_A}^{1-\lambda_B} \beta(1-\beta) d\beta + \int_{1-\lambda_B}^1 \frac{\beta(1-\beta)}{S_B} d\beta + (K-1) \int_{S_A}^{S_{co}} \frac{\beta(1-\beta)}{S_A} d\beta + (K-1) \int_{S_A}^{S_{co}} \frac{\beta(1-\beta)}{S_B} d\beta$
$Y_{AB} = (K-1) \int_{S_A}^{S_{co}} \frac{1-\beta}{S_A} d\beta, \quad f_{AB} = (K-1) \int_{S_A}^{S_{co}} \frac{1-\beta}{S_B} d\beta, \quad Y_{BA} = (K-1) \int_{S_B}^{S_{co}} \frac{1-\beta}{S_B} d\beta, \quad f_{BA} = (K-1) \int_{S_B}^{S_{co}} \frac{1-\beta}{S_A} d\beta$
$\theta_{A0} = \int_0^{\lambda_A} \frac{1-\beta}{S_A} M_{co} d\beta + \int_{\lambda_A}^{1-\lambda_B} \frac{1-\beta}{S_B} M_{co} d\beta + (K-1) \int_{S_A}^{S_{co}} \frac{1-\beta}{S_A} M_{co} d\beta + (K-1) \int_{S_A}^{S_{co}} \frac{1-\beta}{S_B} M_{co} d\beta$
$\theta_{B0} = \int_0^{\lambda_A} \frac{\beta}{S_A} M_{co} d\beta + \int_{\lambda_A}^{1-\lambda_B} \beta M_{co} d\beta + \int_{1-\lambda_B}^1 \frac{\beta}{S_B} M_{co} d\beta + (K-1) \int_{S_A}^{S_{co}} \frac{\beta}{S_B} M_{co} d\beta + (K-1) \int_{S_A}^{S_{co}} \frac{\beta}{S_A} M_{co} d\beta$

表-1 の値を用-5のことき直線および放物綫変化の二つ
形状についてそれそれ求めたが紙面の都合上ここでは省略する。

式(8)の $l = \theta_A = \theta_B = R$, R は剛度 $K = I/l$ の慣用置換を行
なったのち連立して解いて M_{AB}, M_{BA} を求めれば所要の弾塑性
たわみ角式が次のとく誼導される。

$$M_{AB} = EK_0(G\partial_A + G\partial_B - (G+C_2)R) + f_{AB}M_{co} + f_{AB}M_{co} + f_{AB}M_{co} - C_{AB} \quad (9)$$

$$M_{BA} = EK_0(G\partial_A + G\partial_B - (C_2+C_3)R) - f_{BA}M_{co} - f_{BA}M_{co} - f_{BA}M_{co} + C_{BA} \quad (10)$$

ここで定数 C_1, C_2, C_3 および弾塑性項 $f_{AB}, f_{BA}, f_{AB}M_{co}, f_{BA}M_{co}$ は荷重項 C_{AB}, C_{BA} は次式で示される。

$$\text{定数: } C_1 = \partial_A / (\partial_A \partial_B - \beta^2), \quad C_2 = \beta / (\partial_A \partial_B - \beta^2), \quad C_3 = \partial_B / (\partial_A \partial_B - \beta^2)$$

$$\text{弾塑性項: } f_{AB} = C_1 \partial_A - Gf_{AB}, \quad f_{AB} = C_1 \partial_B - Gf_{AB}, \quad f_{AB} = Gf_{AB} + C_2 f_{AB}, \quad f_{AB} = -C_2 \partial_B + C_3 f_{AB}, \quad f_{BA} = -C_2 \partial_A + C_3 f_{BA} \quad (11)$$

$$\text{荷重項: } C_{AB} = C_1 \theta_{A0} - C_2 \theta_{B0}, \quad C_{BA} = -C_2 \theta_{A0} + C_3 \theta_{B0} \quad (12)$$

表-1 (3) から $K=1$ における式(7)は弾性変形面たわみ角式 ($l = \lambda_A = \lambda_B = 0$) すなばく山田式⁽²⁾導いた弾塑

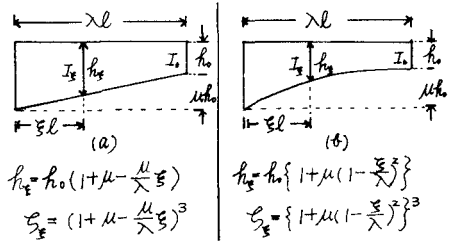


表-1-5

性等断面をわみ角式に一致し、 $\xi_i=0$, $\xi_j=\xi_{in}$, $\xi_{out}=1$ とかけば両端のみ、 $\xi_i=\xi_{in}$, $\xi_k=\xi_{out}$ とかけば途中にのみそれも塑性領域が生ずる場合のわみ角式となる。さて (=A 端に塑性ヒンジが形成される場合は $M_{AB} = M_{AB}/(G_A)_{\xi_{in}} = |M_{y0}|/(G_A)_{\xi_{in}}$ と一定になり、式(7)の M_{BA} は次式のごとく変換される。

$$M_{AB} = \sqrt{(\xi_{in})^2} |M_{y0}| \\ M_{BA} = E K_{oc} (C_1 - C_2^2/C_1) (\theta_B - R) - \left(\frac{C_2}{C_1} f_{ax} + f_{ay} \right) M_{coi} - \left(\frac{C_2}{C_1} f_{aj} + f_{aj} \right) M_{coj} - \left(\frac{C_2}{C_1} f_{ar} + f_{ar} \right) M_{car} + \frac{C_2^2}{C_1} \sqrt{(\xi_{in})^2} |M_{y0}| + \left(\frac{C_2}{C_1} C_{AB} + C_{BA} \right) \quad (11)$$

4. ハニーハンチを有する不静定構造物の解法 ハニーハンチを有する不静定構造物の弾塑性解析を行なうには、上記式(9)および式(11)のわみ角式を用いて節点の回転角および変位を未知数とし、節点方程式、せん断力の釣合式およびスパン方程式を用いて解く在来の変形法に準すればよく、ただ塑性領域の境界を指定すれば、 ξ_{in} , ξ_{in} , ξ_{in} , ξ_{in} など未知数に対しては弾塑性境界条件として式(12)が成立し、結局未知数と同数の条件式をうることになる。例えば図-4のハンチ部における ξ_{in} および ξ_{in} に対する境界条件式は次式より求められる。

$$\begin{aligned} (\bar{M}_c)_{\xi_{in}} &= \frac{|M_{co}|}{\sqrt{\xi_{in}(S_{in})}} = (\bar{M})_{\xi_{in}\xi_{in}} = \frac{1}{\xi_{in}(\xi_{in})} \left\{ (1 - \xi_{in}) M_{AB} - \xi_{in} M_{BA} + M_{o}(\xi_{in}) \right\} \\ (\bar{M}_c)_{\xi_{in}\xi_{in}} &= \frac{|M_{co}|}{\sqrt{\xi_{in}(S_{in})}} = (\bar{M})_{\xi_{in}\xi_{in}} = \frac{1}{\xi_{in}(\xi_{in})} \left\{ (1 - \xi_{in}) M_{AB} - \xi_{in} M_{BA} + M_{o}(\xi_{in}) \right\} \end{aligned} \quad (12)$$

5. 計算例

はりおよび柱の断面を図-6のごとく仮定すれば、式(3)より次の諸値をうる。

はり: $EI_o = 20.00 \times 10^3 \text{ t-m}^2$ 柱: $EI_o = 12.38 \times 10^3 \text{ t-m}^2$

$M_{co} = 9.165 \text{ t-m}$

$M_{co} = 6.999 \text{ t-m}$

$M_{yo} = 20.05 \text{ t-m}$

$M_{yo} = 11.96 \text{ t-m}$

$K = 5.063$

$K = 7.742$

(1) 図-7に示すごとく内型ラーメンは单一集中荷重が載荷して、はりの中央近傍に15cmの塑性領域が生じた状態にかけた荷重 P およびそのときの曲げモーメント M_A , M_E をハニーハンチの傾き φ をパラメータとして求めねば次のとくである。

端モーメント式は式(9)より

$$\begin{aligned} \text{はり AB: } M_{AB} &= E K_{oc} (C_{16} - C_{26}) \theta_A + f_{ax} M_{co} - C_{AB} \\ \text{柱 AC: } M_{AC} &= E K_{oc} (C_{16} - C_{26}^2/C_{36}) \theta_A \end{aligned} \quad (13)$$

次 (=A 端の節点方程式 $M_{AB} + M_{AC} = 0$) を用いて

$$\{E K_{oc} (C_{16} - C_{26}) + E K_{oc} (C_{16} - C_{26}^2/C_{36})\} \theta_A - C_{AB} = -f_{ax} M_{co} \quad (14)$$

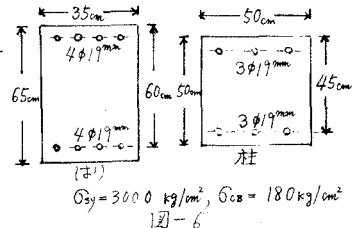
一方弾塑性境界条件式より $M_{co} = M_{AB} + 0.486 P L / 2$ とし、これに式(13)を代入して

$$E K_{oc} (C_{16} - C_{26}) \theta_A + 1.458 P - C_{AB} = (1 - f_{ax}) M_{co} \quad (15)$$

ここ (=諸係数は式(10), 図-5, 表-1 および $E K_{oc}$ の図表を用いて求められ、例えれば $\tan \varphi = 1/2$ のときの値を式(14)および式(15)に代入すれば

$$C_{16} = 7.394, C_{26} = 5.070, f_{ax} = 0.118, C_{36} = 0.979 P, C_{16} = 7.008, C_{26} = 3.346, C_{36} = 4.605$$

この値を式(14)および式(15)に代入すれば



$$G_{oy} = 3000 \text{ kg/cm}^2, G_{oz} = 180 \text{ kg/cm}^2$$

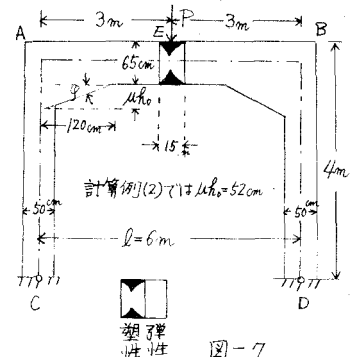


図-7

$$\begin{aligned} 21.92 \times 10^3 \delta_A - 0.979 P &= -1.082, \\ 7.749 \times 10^3 \delta_A + 0.484 P &= 8.083 \end{aligned} \quad \left. \begin{array}{l} (16) \\ \end{array} \right\}$$

式(16)を建立したうえ、式(13)に代入すれば結局次値をうる。

$$\delta_A = 0.405 \times 10^{-3}, P = 10.23 t, M_{AB} = -M_{AC} = -5.737 t m, M_E = 9.595 t m$$

同様に $\tan \varphi = 0, 1/3, 1$ の場合について P, M_{AB} および M_E をそれぞれ計算して結果を表-2 および図-8 に示した。これより次のことが考察される。

(i) 一定の塑性領域に対し、最も危険な断面の曲げモーメント M_E を最小化しめる傾きは $\tan \varphi = 1/3$ であり、これは通常のハンナの設計が 1:3 の勾配を採用している妥当性を立証するものである。

(ii) 荷重 P を最大からしめる傾きは 45° の場合であるが、 M_E をかえても増大せしめていくゆえ、経済的なハンナとはいえない。

(iii) 図-8 のごとくハンナの影響にて M_E 値にはさほど変化が起らぬことか分るが、これは断面を均等に増加させると同一効果をうるなどによるゆえハンナ効果を利用すべきとか認められる。

(iv) 図-7 と同じ内型ラーメンに集中荷重 $P = 10t$ が作用したときの曲げモーメントの算出方法は、当初塑性領域の発生が未知なるため、まず弾性値を第0次近似値として用い、以下式(12)、式(13)および式(14)を用いての繰返し演算となる。結果のみ示せば表-3 のごとく収束値をえた曲げモーメント図は図-9 のごとく、また中央変形たわみは $\delta = 1.3311 \times 10^{-3} m$ となる。

表-3

	δ_e	M_{AB}	M_E
第0次近似値	$14.436 t m$	$-5.5614 t m$	$9.4386 t m$
第1次近似値	11.208	-5.5618	9.4382
第2次近似値	10.932	-5.5622	9.4378
第3次近似値	10.876	-5.5622	9.4378

6. 結語 本研究はハンナを有する矩形断面のRC部材の弾塑性たわみ角式を等断面置換法によって誘導し、もってRC構造物の弾塑性解析に対する実用化を図ることより、T形断面に対しても本法と同様に解析可能である。また弾性解析においてハンナ部を剛域に置換する方法も行なわれていて⁽⁶⁾が、剛域を考慮した弾塑性解析については目下研究中である。なお本研究は文部省科学研究費の補助を受けた記して謝意を表す。

文献(1)武藤清：耐震設計シリーズ2. 鋼筋コンクリート構造物の塑性設計 (2)山田寿一郎：桡角法形式による骨組の弾塑性解析法とその応用、建築学会論文報告集、第80号、第81号、(3)山崎石川・松隈：カバーアレートをもつT形断面の弾塑性解析、土木学会西部支部研究発表会論文集、昭和42年1月

(4) Yang, C.H., Knudsen, K.E., Weisshopf, W.H. et al.: Plastic Strength and Deflection of Continuous Beams, Progress Report NO.9, The Welding Journal, Vol. 32, May, 1953. (5) L.T. Evans: Modified Slope-deflection Equations, Proceedings of ACI, Vol. 28, 1932 (6)武藤清：耐震設計シリーズ1. 耐震設計篇法、丸善株式会社

表-2				
$\tan \varphi$	P/t	$M_{AB}/t m$	$M_E/t m$	
0 (等断面)	9.37	-4.488	9.562	
$1/3$ (18.26°)	9.96	-5.414	9.528	
$1/2$ (26.34°)	10.23	-5.737	9.595	
1 (45°)	10.83	-6.701	9.548	

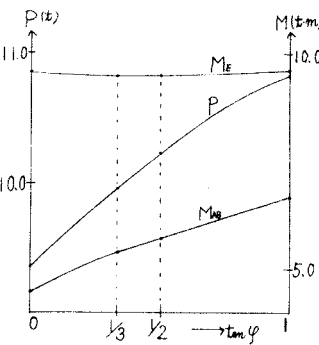


図-8

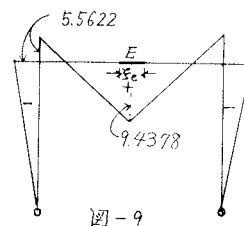


図-9